

## **Bijlage 3 Lijst met afbeeldingen en tabellen**

Alle afbeeldingen zijn van Archeologie West-Friesland, tenzij anders vermeld.

Afbeelding 1a. De locatie van het plangebied binnen de gemeente Hoorn in West-Friesland (rode stip). Op de kaart is het gemeentelijk samenwerkingsverband Archeologie West-Friesland weergegeven.

Afbeelding 1b. De ligging van het plangebied (rode stippellijn) op een moderne topografische kaart (bron: PDOK).

Afbeelding 2. Concept van de ontwikkelingsplannen.

Afbeelding 3. Etienne van Paridon laat aan student-stagiaire Inge de Jong zien hoe je een pollenbak bergt.

Afbeelding 4. De locatie van het plangebied (bij benadering) op paleogeografische kaartbeelden van de situatie van 2250 (a, links), 1500 (b, midden) en 900 v.Chr. (c, rechts) (naar Van Zijverden 2016).

Afbeelding 5. Uitsnede van de bodemkaart Groot Hoorn (naar Bles & Steeghs 1973).

Afbeelding 6. Uitsnede van het AHN.

Afbeelding 7. Uitsnede van de kaart van Johannes Dou uit 1651-1654. Het plangebied ligt binnen de zwarte cirkel.

Afbeelding 8. Uitsnede van het kadastrale minuutplan van Hoorn uit 1823.

Afbeelding 9. Overzicht van de werkputten.

Tabel 1. Overzicht van fasering.

Afbeelding 10. Profielopname in werkput 7.

Afbeelding 11. Profielopname in werkput 6.

Afbeelding 12. Twee profielen zijn met een metalen pollenbak bemonsterd.

Tabel 2. Gekalibreerde dateringsresultaten (Dee 2023).

Afbeelding 13. Hoefindrukken van evenhoevigen.

Afbeelding 14. Detail van de hoefindrukken.

Afbeelding 15. De donkere banen zijn restanten van middeleeuwse greppels. De foto is genomen richting het oosten.

Afbeelding 16. Topografische kaart van het plangebied. Hierop is te zien dat dwars door het plangebied een sloot is aangelegd (bron: topotijdreis.nl).

Tabel 3. Waardering van de vindplaats.

## Bijlage 4 Determinatielijsten

### Keramik

Vnr	Snr	Context	Keramik soort	Vorm	Diameter	Compleetheid (tot	N rand	N overig	N_som	MAE	Typedatering	Decoratie	Opmerkingen
1			iw	-	-	-	0	1	1	1	1900-1950		
2	4	Sloot	kogelpot	-	-	-	0	1	1	1	1100-1325		
4			kogelpot	-	-	-	0	1	1	1	1100-1325		

## Bouwkeramiek

Vnr	Sub	Snr	Context	Keramik soort	Subtype	Vorm	N rand	N overig	N_som	MAE	Typedatering	Afmetingen	Decoratie	Opmerkingen	Literatuur	Productieplaats
2		4		roodbakkend		baksteen	1	0	1	1	1500-1800	?x12x5				

## Metaal

Vnr	Sub	Complexdatering	Materiaal_sub	Vorm	N totaal	Typedatering	Afmetingen	Opmerkingen
3		1975	Messing	munt	1	20ste eeuw	20 mm	versleten met veel aanslag.

**Natuursteen**

Vnr	Sub	Snr	Context	Materiaal_sub	Vorm	N totaal	Typedatering	Afmetingen	Decoratie	Opmerkingen	Literatuur	Productieplaats
1		-	-	-	-	1		10x5 cm				



Gemeente Hoorn / Archeologie West-  
Friesland Archeologie  
Leek, J.  
Nieuwe Steen 1  
1625 HV Hoorn  
Nederland

+31 (0)50 363 47 60  
cio@rug.nl

Nijenborgh 6  
9747 AG Groningen  
The Netherlands

www.rug.nl/cio

**Datum:**  
11-7-2023

**Ons kenmerk:**  
4345

**Uw kenmerk:**  
Hoorn - Nieuwe Steen 9

Geachte J. Leek,

Hierbij rapporteren we de meetresultaten van monsters voor uw project 'Hoorn - Nieuwe Steen 9'

#### <sup>14</sup>C Meetresultaten

Sample Name	Material (Protocol)	Dated Fraction	Lab Ref.	F <sup>14</sup> C	± 1σ	<sup>14</sup> C Date (yr BP)	± 1σ
525 M01	Charcoal (ABA)	Reduced carbon	GrM-32631	0.6468	0.0021	3500	26
526 M02	Charcoal (ABA)	Reduced carbon	GrM-32632	0.6377	0.0020	3614	25

#### Verdere Meetresultaten

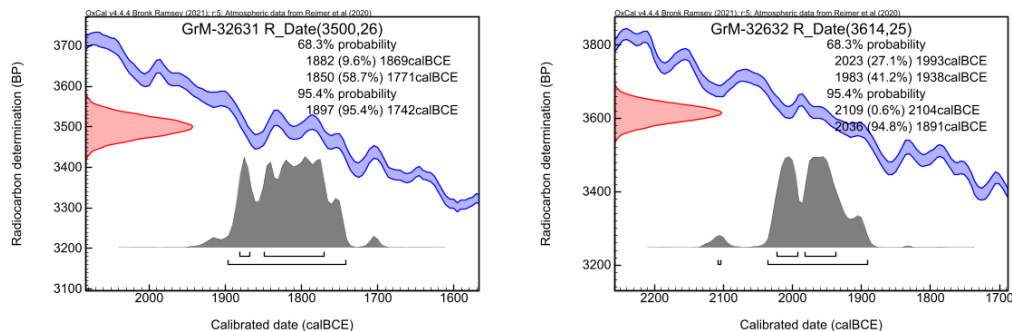
Sample Name	Pretreatment Yield (%)	% C (Comb.)	δ <sup>13</sup> C (‰, VPDB)	± 1σ
525 M01	6.9	35.9	-25.68	0.15
526 M02	1.2	60.2	-24.06	0.15

De gerapporteerde onzekerheid in de gemeten waarden omvat niet alleen de spreiding in de instrumentmeting zelf, maar ook de variatie in het meetresultaat die ontstaat door variaties in chemische voorbehandeling en vervolgstappen (van deel(monsters) van dezelfde samenstelling en vergelijkbare grootte) in het lab-proces tot de AMS-meting. Voor meer informatie hierover verwijzen we naar Dee *et al.* (2020) en Aerts-Bijma *et al.* (2021).

#### Gekalibreerde Dateringsresultaten

Sample Name	Date Ref.	From (Year BCE)	To (Year BCE)	Probability (%)	From (Year BCE)	To (Year BCE)	Probability (%)
525 M01	GrM-32631	1882	1771	68.3	1897	1742	95.4
526 M02	GrM-32632	2023	1938	68.3	2109	1891	95.4

De  $^{14}\text{C}$  leeftijd (in  $^{14}\text{C}$  yr BP) is gekalibreerd naar kalenderjaren m.b.v. software programma OxCal, versie 4.4 (Bronk Ramsey 2009). De kalibratiecurve die daarbij is gebruikt: IntCal20 (Reimer *et al.* 2020). De datum bereiken in de figuren geven de tijdsperioden aan die consistent zijn met de gemeten  $^{14}\text{C}$ -waarde op het genoemde waarschijnlijkheidsniveau.



Mocht u nog vragen hebben naar aanleiding van deze resultaten of aanvullende informatie willen krijgen over de uitgevoerde analysemethode, dan horen wij dat graag.

Met vriendelijke groet,

prof. dr. Michael W. Dee  
Associate Professor of isotope Chronology &  
Head of Radiocarbon Dating  
Centre for Isotope Research (CIO)  
University of Groningen

#### References

- Aerts-Bijma, A. *et al.* 2021. An independent assessment of uncertainty for radiocarbon analysis with the new generation high-yield accelerator mass spectrometers. *Radiocarbon* **63**(1): 1-22.
- Bronk Ramsey, C. 1995. Radiocarbon calibration and analysis of stratigraphy: The OxCal program. *Radiocarbon* **37**(2): 425-430.
- Dee, M. *et al.* 2020. Radiocarbon dating at Groningen: new and updated chemical pretreatment procedures. *Radiocarbon* **62**(1): 63-74
- Reimer, P. *et al.* 2020. The IntCal20 Northern Hemisphere radiocarbon age calibration curve (0–55 cal kBP). *Radiocarbon* **62**(4): 725-757.